

سنگ‌چینه‌شناسی و زیست‌چینه‌شناسی سازند دلیچای (ژوراسیک میانی) در منطقه پرور، شمال سمنان، البرز مرکزی

مهدی شمس^{۱*} و کاظم سیدامامی^۲

^۱دانشکده زمین‌شناسی، پردیس علوم، دانشگاه تهران، تهران، ایران

^۲دانشکده مهندسی معدن، پردیس فنی، دانشگاه تهران، تهران، ایران

تاریخ پذیرش: ۱۳۸۷/۰۴/۰۸

تاریخ دریافت: ۱۳۸۷/۰۴/۰۴

چکیده

سازند دلیچای و زیای آمونیتی آن در منطقه پرور (شمال سمنان) برای اولین بار بررسی شده است. در برش مربوطه سازند دلیچای با سترای به نسبت کم (۷۰ متر) از مارن، سنگ‌آهک مارنی و سنگ‌آهک تشکیل شده است که به ۵ بخش قابل تقسیم است. از انتهای مارن‌های بخش ۴ و سنگ‌آهک مارنی بخش ۵ تعداد ۴۰۷ عدد آمونیت به دست آمده که وابسته به خانواده‌های Phylloceratidae, Lytoceratidae, Oppeliidae, Haploceratidae, Parkinsoniidae, Morphoceratidae and Perisphinctidae هستند. فسیلهای یافته شده در محدوده زمانی باژوین پسین تا باتونین پسین قرار دارند. از بخش‌های جوان‌تر ژوراسیک میانی، آمونیت به دست نیامد. افزونبر آن در این برش، بخش ۵، شامل آهک‌های گرهکی (ندولر) سرخ و سبز رنگ به سن انتهای باژوین پسین تا باتونین پسین به عنوان "ردیف فشرده (Condensed strata)" در نظر گرفته شد.

کلیدواژه‌ها: سنگ‌چینه‌شناسی، زیست‌چینه‌شناسی، سازند دلیچای، آمونیت، ژوراسیک میانی، پرور، البرز مرکزی.

*نویسنده مسئول: مهدی شمس

۱- مقدمه

و در منطقه پرور (شمال خاوری شهریزاد- شمال استان سمنان) و شمال روستای کاورد واقع است (شکل ۱).

۴- چینه‌شناسی سازند دلیچای در منطقه پرور

۴-۱. سنگ‌چینه‌شناسی سازند دلیچای در برش پرور

در این برش سازند دلیچای با سترای ۷۰ متر، از نظر ترکیب و پیوستگی‌های سنگ‌شناسی به ۵ بخش تقسیم شد (شکل ۲) که از پایین به بالا به شرح زیر است:
کمرپایین: بخش دانسیریت از سازند شمشک با گذر مشخص با تناوب رنگ تا شیری رنگ (۱۱ متر): شامل سنگ‌آهک خاکستری با رنگ هوایزدگی سفید تا شیری رنگ و نبود ماکروفسیل است، که اولین بخش دیده شده بلافاصله روی ماسه سنگ‌های سیلت استون و شیل‌های تیره رنگ زیر سازند دلیچای قرار گرفته است (شکل ۳، E, B).
ببخش ۱: دانسیریت از سازند شمشک با رنگ هوایزدگی سفید تا شیری رنگ و بخوبی با خاصیت از سازند دلیچای در بالا اتفاق افتاده است، که در خاور جاده قابل دیدن است. مربوط به بخش دانسیریت از سازند شمشک است که در قاعده دلیچای به صورت واریزه، کنگلو مراری البته این نکته دارای اهمیت است که در قاعده دلیچای به صورت واریزه، کنگلو مراری کوارتزی دیده شد، که در سمنان به عنوان قاعده سازند دلیچای در نظر گرفته می‌شود و در برش B دیده شد که شرح آن خواهد آمد. موقعیت این کنگلو مرارا باید زیر این آهک سفید باشد، اما برخلاف تلاش فراوان و حرکت در جهات جانبی قاعده دلیچای، به صورت بر جا دیده نشد اما احتمال وجود این بخش وجود دارد (شکل ۳، E).
ببخش ۲ (۱۱ متر): این بخش شامل سنگ‌آهک مارنی سرخ رنگ است. این بخش نیز در کنار رودخانه زیر واریزه‌ها مدفون بوده و تنها در خاور جاده قابل دیدن است. این بخش تعدادی آمونیت و بلمنیت به دست آمد که آمونیت‌ها به دلیل ریز بودن و فرسوده شدن قابل شناسایی نبودند (شکل ۳، E).

ببخش ۳ (۳۰ متر): مارن تا مارن‌های سیلتی خاکستری تا سبز روشن، همراه با کمی اکسید آهن با توبوگرافی پست. در این بخش ماکروفسیل دیده نشد (شکل ۳، A, C, E).
ببخش ۴ (۲۰ متر): تناوب مارن‌های نازک لایه به رنگ خاکستری تا سبز و نوک مدادی و سنگ‌آهک مارنی متوسط لایه با رنگ هوایزدگی شیری تا کرم روشن است. از این بخش تعداد کمی آمونیت از خانواده‌های Perisphinctidae, Parkinsoniidae

سازند دلیچای متشکل از تناوب سنگ‌آهک و مارن خاکستری رنگ بین دو سازند آواری شمشک در پایین و سنگ‌آهکی لار در بالا، کم و بیش در تمام طول رشته کوه البرز دیده می‌شود. سازند مارنی- آهکی دلیچای در منطقه پرور با سترای به نسبت کم دارای رخمنون‌های مناسب و پرسیلی است. سازند دلیچای در منطقه پرور بسیار شبیه به سازند فرسیان (Farsian) است که توسط (Stampfli 1978) از جنوب آزادشهر گزارش شده است (آقاباتی، ۱۳۸۳). سازند فرسیان نیز با حدود ۳۰ متر سترا یک ردیف فشرده شده متشکل از سنگ‌آهک و مارن‌های سبز و سرخ است که رخساره خاصی از سازند دلیچای است. رویداد سیمیرین میانی در البرز حد فاصل رسوبگذاری دو سازند شمشک در پایین و دلیچای در بالا اتفاق افتاده است، که در این مرز با یک ناپیوستگی (افق سرخ رنگ یا کنگلو مراری کوارتزی) مشخص می‌شود و از نظر زمانی کم و بیش با مرز باژوین پیشین- پسین مطابقت دارد.

۲- پیشنهاد بررسی‌های گذشته

برخی از بررسی‌های انجام شده بر روی سازند دلیچای تیترووار به شرح زیر است: باختر فیروز کوه توسط (Steiger 1966) (برش سکو سازند دلیچای) (آقاباتی، ۱۳۷۷)، منطقه آب گرم (آوج- شمال باختری ایران مرکزی) توسط (Seyed-Emami et al. 1985) شمال امامزاده هاشم توسط (Seyed-Emami et al. 1995)، گردنه آهوان- کوه شرف توسط (Seyed-Emami et al. 1991& 1989)، مطالعات چینه‌شناسی و فسیل شناسی (Diyar 1994, 1996 & 1997) (Seyed-Emami et al. 1991), Schairer et al. (1991), Seyed-Emami et al. (2001) & Majidifard (2003) دیگر بر روی این سازند توسط ، انجام گرفته است. پایان‌نامه‌های کارشناسی ارشد بررسی شده بر روی سازند دلیچای در مناطق: آبگرم (آوج- همدان)، (مکوندی، ۱۳۷۹)، جنوب ناحیه پلور (جنوب خاور پل دختر)، (توتونچی، ۱۳۸۰) و باختر شاهروند (البرز خاوری)، (شفیع زاده، ۱۳۸۰).

۳- موقعیت و راه‌های دسترسی به برش

این برش در موقعیت: عرض جغرافیایی ۲۶° N و طول جغرافیایی ۵۳° E

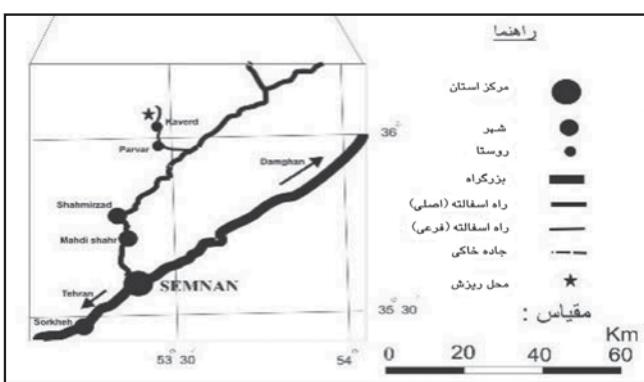
(zone) در پایین سازند دلیچای در برش یادشده، این سن برای قاعده سازند دلیچای در این برش در نظر گرفته شد. اما جوانترین آمونیت یافت شده از سازند دلیچای در این برش گونه: *Oxycerites cf. orbis* (GIEBEL, 1852) به سن انتهایی باقی نمین پسین (Orbis zone) از بالای بخش ۵ (سنگ‌آهک‌های مارنی سرخ رنگ) است.

۵- دیرینه‌زیست جغرافیای سازند دلیچای در برش پرور

در این برش بیشترین نمونه آمونیت وابسته به زیر راسته آمونیتینا است، تا جایی که از آن ۶ خانواده، ۱۷ جنس و ۵۰ گونه شناسایی شد. بیش از ۹۰ درصد تاکسون‌های موجود در حد گونه‌های اروپای مرکزی و جنوبی مربوط هستند. مانند کشورهای آلمان (مرکز تاشمال اروپا)، فرانسه (باخترا اروپا)، اسپانیا (جنوب باخترا اروپا)، اسلواکی، مجارستان و لهستان (مرکز تا خاور اروپا) و تعداد کمتر از شمال افریقا نیز گزارش شده‌اند. این شباهت‌ها در گونه‌های آمونیتی یافت شده از ژوراسیک میانی، ارتباط جغرافیایی زیستی دیرینه (Paleobiogeography) بسیار نزدیک میان منطقه پرور (البرز) با بخش‌های شمال باخترا تیس رانمایان می‌سازد (شکل ۴). هر چند زیای آمونیتی موجود ارتباط نزدیکی را باستان زیستی ساپ بورال (Subboreal Province) نشان می‌دهد اما وجود فیلوسراتیدا و لیتوسراتیدا و برخی تاکسون‌های دیگر در عین حال حاکی از ارتباط با مناطق اطراف مدیترانه و استان زیستی نیمه مدیترانه (Submediterranean Province) است. طبق تعریف (Cariou, 1997) است.

۶- نتیجه‌گیری

سازند دلیچای در منطقه پرور (شمال استان سمنان) دارای ستبرای به نسبت کمی (۷۰ متر) بوده و با توجه به آمونیت‌های یافت شده از آن، سن باژووسین پسین تا باتونین پسین رانشان می‌دهد. جالب است که در برش پرور آمونیت‌های اشکوب کالولین که به طور معمول در دیگر برش‌های سازند دلیچای به فراوانی است، یافت نشد. زون‌بندی رایج آمونیتی ژوراسیک میانی در اروپای مرکزی و جنوبی به طور کامل به منطقه مورد بررسی قبل تعیین است و بیشتر گونه‌های شاخص موجود هستند. در این برش از سازند دلیچای مرزهای زیرین باسازند شمشک و زیرین باسازند لار از نوع مشخص (Sharp) است. بخش ۵ سازند دلیچای در این برش (سنگ‌آهک مارنی سبز-آبی در پایین و سرخ در بالا) از نوع "ردیف فشرده" (Condensed) تشخیص داده شد. آمونیت‌های یافت شده از برش یاد شده ارتباطات جغرافیایی زیستی دیرینه (Paleobiogeography) (نزدیکی را با مناطق مرکزی اروپا و تاحدودی شمال افریقا (ایالت‌های زیستی: نیمه بورال، نیمه مدیترانه) را نشان می‌دهند که خود تأییدی بر موقعیت جغرافیایی دیرینه البرز در شمال اقیانوس تیس (Tethys) است. افزون‌بر آن با توجه به تعداد زیاد آمونیت‌های متعلق به یک گونه خاص، حفظ شدگی مناسب و برداشت لایه به لایه، تا حدودی تعیین جنسیت (نر[♂] (میکروکونک) و ماده[♀] (ماکروکونک)) امکان پذیر شد.



شکل ۱- موقعیت و راه‌های دسترسی به برش پرور.

(Late Bajocian) Phylloceratidae, Oppeliidae برداشت شد که سن باژووسین پسین (A, B, C, ۳ متر) این بخش نشان می‌دهد (شکل ۳).

- بخش ۵ (۱۸ متر): این بخش شامل سنگ‌آهک مارنی نازک تا متوسط لایه، گرهکی و پرفیل است که خود از نظر رنگ به دو بخش قابل تقسیم است:

۱- بخش زیرین بیشتر به رنگ خاکستری تا سبز-آبی به نسبت تیره ساخته شده است. فسیل‌ها و بویزه آمونیت‌ها در این بخش بسیار فراوان‌ترند. از این بخش تعداد بسیار

زیادی آمونیت از خانواده‌های: Phylloceratidae, Lytoceratidae, Oppeliidae, Sphaeroceratidae, Morphoceratidae, Parkinsoniidae, Perisphinctidae برداشت شد. غیر از آمونیت‌ها از نظر فراوانی بازوپایان (Brachiopods) و اسفنج‌ها (Sponges)

در رد دوم قرار داشتند. از دیگر فسیل‌های برداشت شده از این بخش می‌توان به بلمنیت‌ها (Belemnites)، دوکفهای (Bivalves)، شکم پایان (Gastropods) و خارداران (Echinoids) اشاره کرد که بیشتر آنها به صورت برجا و از لایه به دست آمدند. با توجه به آمونیت‌هایی به دست آمده از این قسمت، سن انتهایی باژووسین پسین تا باتونین پیشین (میانی؟) برای این قسمت از بخش ۵ در نظر گرفته شده است.

۲- بخش بالایی شامل سنگ‌آهک مارنی به رنگ سرخ با فسیل ۱۸ متر است. مستبرای این بخش کمی کمتر از بخش زیرین است. با توجه به آمونیت‌های این بخش، سن باتونین میانی (پسین؟) برای آن در نظر گرفته شده است. در کل، بخش ۵ با توجه به سترای کم (Condensed Strata) و در هم آمیختگی فسیل‌های زون‌های مختلف نهشته شدن آن در مدت زمان بسیار طولانی (در حدود ۵ میلیون سال) به عنوان "ردیف فشرده (Condensed Strata)" با نرخ رسوبگذاری بسیار پایین (در حدود ۳/۷ متر در میلیون سال)، در نظر گرفته می‌شود (شکل ۳).

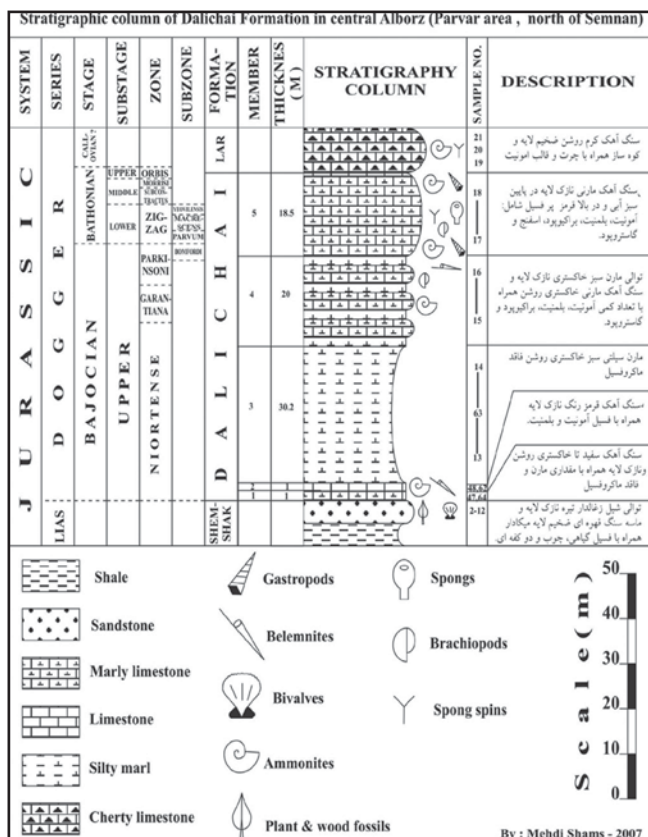
کمر بالا (سازند لار): شامل سنگ‌آهک‌های ستر لایه تا توهدای (Massive) به رنگ شیری تا کرم روشن، بسیار چرتی و دولومیتی شده و به شدت صخره‌ساز است. از این سازند تنها تعداد کمی قالب خارجی از خانواده Perisphinctidae، دیده شد. مرز این سازند دلیچای در این برش، همان طور که در تصاویر دیده می‌شود، همانند مرز سازند دلیچای و شمشک مشخص و آشکار است (شکل ۳).

۴- زیست‌چینه‌شناسی سازند دلیچای در برش پرور

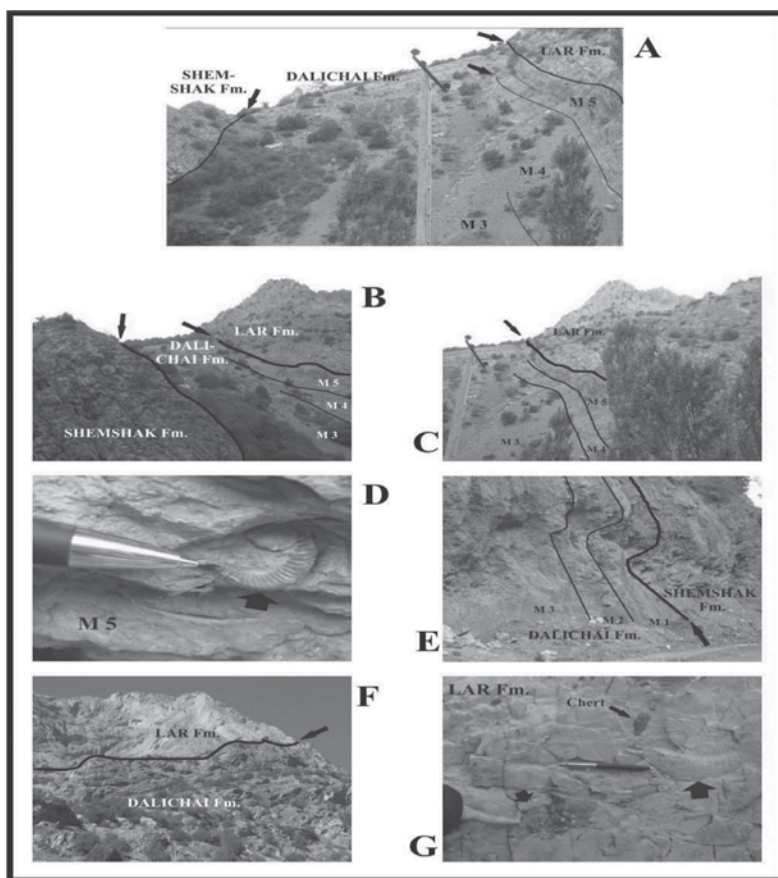
در مجموع از سازند دلیچای در برش A (پرور)، ۵۵۷ عدد ماکروفسیل به دست آمد که بیشتر آنها برجا و از درون لایه برداشت شدند. از این تعداد ۴۰۷ نمونه آمونیت، ۱۰ نمونه اسفنج، ۱۱ نمونه بلمنیت، ۸ نمونه شکم پا، ۱ نمونه دوکفهای و ۱ نمونه خارپوست بودند (شکل ۵). بیشتر نمونه‌ها از نیمه پایین بخش ۵ برداشت شدند. پس از آن انتهای بخش ۴ و نیمه بالایی بخش ۵ بیشترین فسیل را دارا بودند. آمونیت‌های این برش پس از شناسایی در سه زیر راسته: ۱- فیلوسراتینا (Lytoceratina HYATT 1889)، ۲- لیتوسراتینا (Phylloceratina ARKELL 1950) و ۳- آمونیتینا (Ammonitina HYATT 1889) قرار گرفتند. بیشترین تعداد نمونه آمونیت وابسته به زیر راسته آمونیتینا بودند. ۱- در کل از زیر راسته فیلوسراتینا در این برش، ۱ خانواده، ۲ زیر خانواده، ۵ جنس و ۸ گونه شناسایی شد. اگر چه گونه‌های این زیر راسته، سنهایی به دقت گونه‌های زیر راسته آمونیتینا نمی‌دهند اما در تفسیر مربوط به محیط رسوبگذاری و ارتباطات دیرینه‌زیست‌شناسی حوضه بسیار مفیدند. ۲- از زیر راسته لیتوسراتینا در این برش، تنها ۱ روخانواده و ۱ جنس شناسایی شد. افراد این زیر جنس نیز مانند زیر راسته پیش برای تعیین ژرفای محیط رسوبی مفید بوده اما دارای محدوده سنی وسیع هستند. ۳- بیشترین نمونه آمونیت در این برش وابسته به زیر راسته آمونیتینا بود، تا جایی که از آن ۶ خانواده، ۱۷ جنس و ۵۰ گونه شناسایی Caumontisphinctes (Caumontisphinctes): شد. با توجه به یافت شدن زیر گونه nodatus bisingtonensis DIETL، 1980

دادمه جدول ۱-نمایش گونه‌های آمونیتی شناخته شده از سازند دلیچای در برش A، و گسترش زمانی آنها.

جدول ۱-نمایش گونه‌های آموخته شده از سازندلیچای در برش A، و گسترش زمانی آنها.

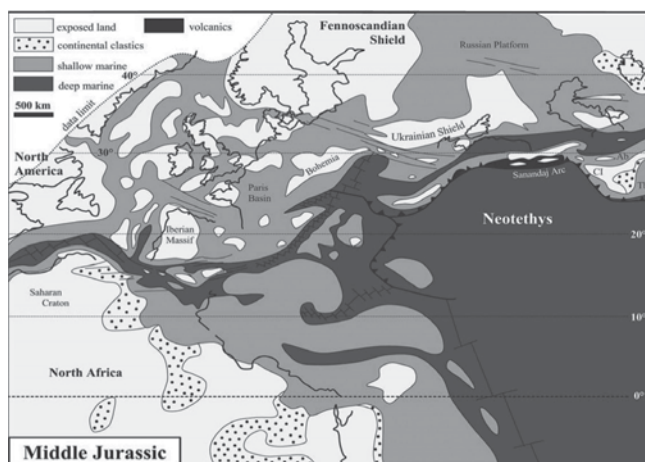


شکا، ۲- ستون چننه‌شناسی سازند دلیچای در منطقه پیر ور.

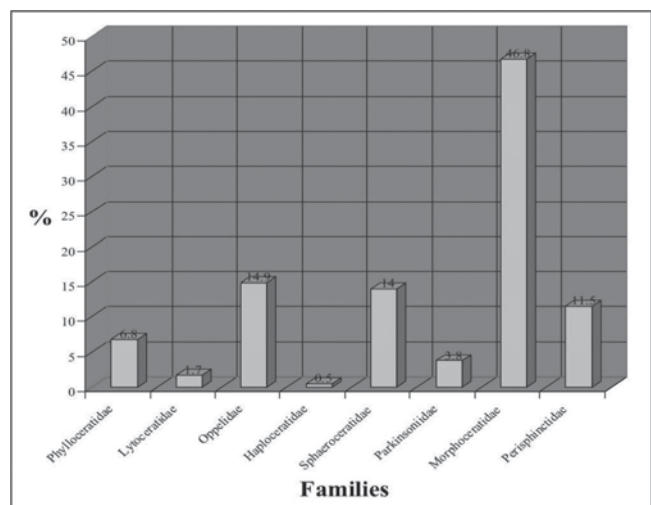


شکل ۳- تصاویری از سازندهای شمشک، دلیچای و لار در منطقه پرور.

توضیح شکل ۳- (A) نمایی از سازندهای شمشک، دلیچای و لار در منطقه پرور (برش (A) (نگاه به سمت باخته). (B) نمایی از سازندهای شمشک، دلیچای و لار در منطقه پرور (برش (A) (نگاه به سمت شمال باخته). (C) نمایی از بخش‌های بالای سازنده دلیچای (بخش‌های ۴ و ۵) به همراه مرز این سازند با سازند لار در همان برش (نگاه به طرف باخته). (D) تصویر یک آمونیت از خانواده Perisphinctidae در ابتدای بخش ۵ از برش (A) (نگاه به سمت شمال باخته). (E) نمایی از بخش‌های ابتدایی (بخش‌های ۱، ۲ و ۳) سازند دلیچای به همراه مرز این سازند با شمشک که به دلیل نایپوستگی موازی به صورت زیگزاگی نمایش داده شده است (نگاه به سمت جنوب خاور). (F) نمایی از مرز سازند دلیچای و لار در سمت راست جاده (نگاه به سمت شمال). (G) تصویری از قالب خارجی آمونیت‌های وابسته به خانواده Perisphinctidae از سازند لار.



شکل ۵- نقشه جغرافیای دیرینه تیس باخته و موقعیت جغرافیای دیرینه البرز.
(Ab=البرز، CI=ایران مرکزی، Tb=بلوک طبس) (Dercourt et al., 2000)



شکل ۴- درصد فراوانی خانواده‌های آمونیتی به دست آمده از سازند دلیچای در برش پرور.

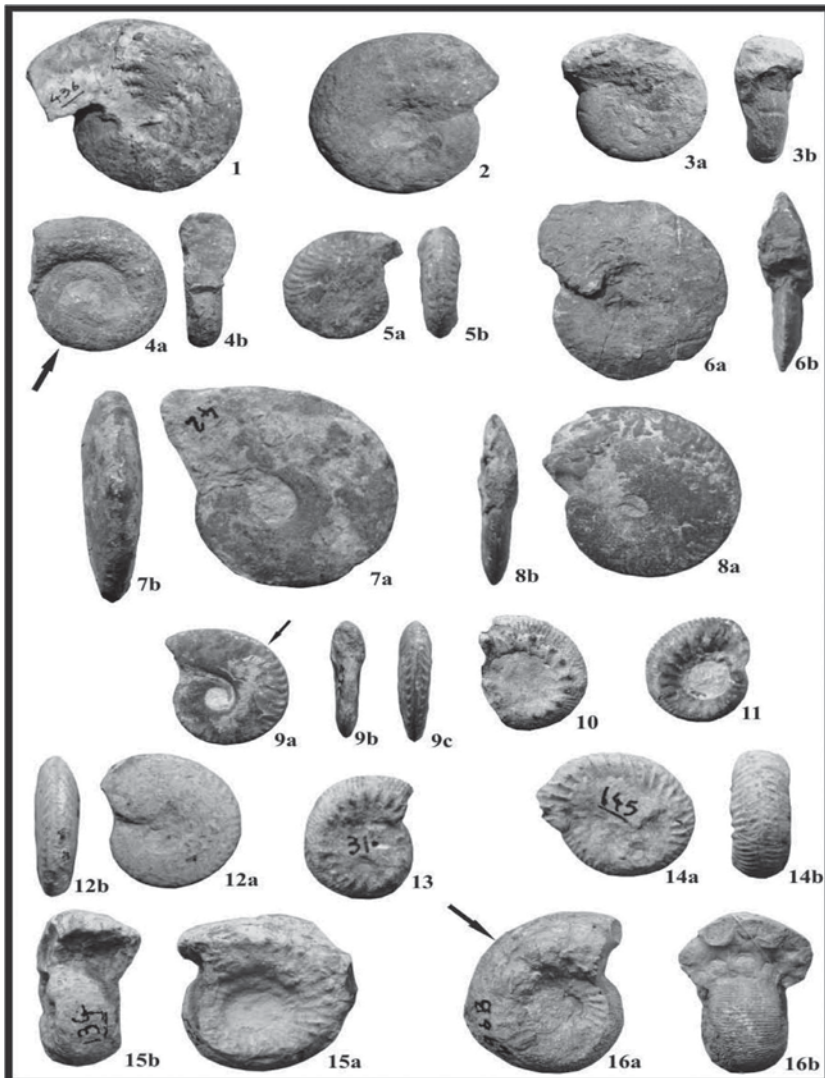
Plate 1


Fig. 1- *Calliphylloceras cf. disputabile heterophylloides* (OPPEL, 1856) x 0.5, lower part of Mbr. 5, early Bathonian.

Fig. 2 - *Calliphylloceras cf. cheneriense* (MUNIER- CHALMAS in Sayn 1930) x 2, lower part of Mbr. 5, early Bathonian.

Figs. 3a,b- *Holophylloceras zignodianum* (d'ORBIGNY, 1848) x 1, lower part of Mbr. 5, end of late Bajocian-early Bathonian (Bomfordi subzone-Zigzag zone), (a: lateral, b: frontal view).

Figs. 4a,b- *Lytoceras* sp. x 1, middle part of Mbr. 5, Bathonian, (a: lateral view (Beginning of living chamber is shown), b: frontal view).

Figs. 5a,b- *Oxycerites seebachii* (WETZEL, 1950) x 1, lower part of Mbr. 5, early Bathonian (Zigzag zone), (a: lateral view, b: dorsal view).

Figs. 6a,b- *Oxycerites cf. orbis* (GIEBEL, 1852) x 1, upper part of Mbr. 5, late Bathonian (Orbis zone), (a: lateral view, b: frontal view).

Figs. 7a,b- *Oppelia* sp. x 0.5, lower part of Mbr. 5, late Bajocian (Parkinsoni zone), (a: lateral view, b: dorsal view).

Figs. 8a,b- *Oxycerites oxus* (BUCKMAN, 1926) x 1, lower- middle part of Mbr. 5, middle Bathonian (Subcontractus-Morissi zone), (a: lateral view, b: frontal view).

Figs. 9a-c- *Oecotraustes (Oecotraustes) westermani* STEPHANOV, 1966, (m♂) x 1, lower part of Mbr. 5, late Bajocian (Parkinsoni zone), (a: lateral view, b: frontal view, c: dorsal view).

Fig. 10- *Cadomites (Polyplectites) globosus* WESTERMAN, 1954 x 1.5, lower part of Mbr. 5, end of late Bajocian (Parkinsoni zone, Bomfordi sub-zone)-early Bathonian (Zigzag zone).

Fig. 11- *Cadomites (Polyplectites) dorni* (ROCHE, 1939) x 1, lower part of Mbr. 5, late Bajocian (Parkinsoni zone)-early Bathonian (Zigzag zone).

Figs. 12a,b- cf. *Oecotraustes (Oecotraustes) aff. nivernensis* GROSSOUVRE, 1918 x 1.5, lower part of Mbr. 5, early-?middle Bathonian, (a: lateral view, b: frontal view).

Fig. 13- *Cadomites (Cadomites) aff. rectelobatus* (HAUER, 1857) x 1, lower part of Mbr. 4, start of early Bathonian (Zigzag zone, Parvum subzone).

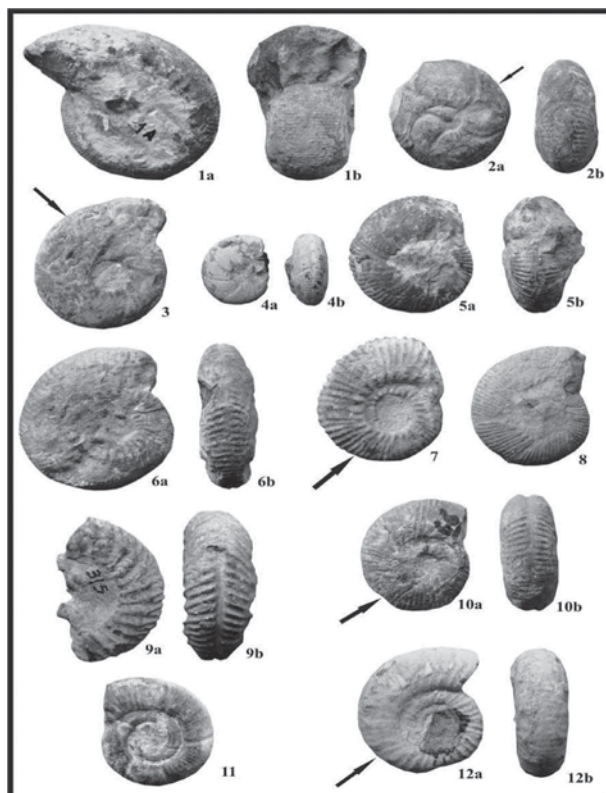
Figs. 14a,b- *Caumontisphinctes (Caumontisphinctes) nodatus* BUCKMAN, 1921 bisigensis DIETL, 1980 x 1, middle part of Mbr. 4, start of late Bajocian (Niortense zone), (a: lateral view, b: dorsal view).

Figs. 15a,b- *Cadomites (Cadomites) cf. deslongchampsi* (ORBIGNY, 1846) x 1, lower part of Mbr. 5, early Bathonian, (a: lateral view, b: frontal view).

Figs. 16a,b- *Cadomites (Cadomites) aff. stegeus* (BUCKMAN, 1922) x 1, lower part of Mbr. 5, early Bathonian, (a: lateral view, b: frontal view).

Plate 2

Figs. 1a,b- *Cadomites (Cadomites) aff. stegeus* (BUCKMAN, 1922) x 1, lower part of Mbr. 5, early Bathonian, (a: lateral view, b: frontal view).
Figs. 2a,b- *Morphoceras macrescens* (BUCKMAN, 1923), (m \circ) x 1, lower part of Mbr. 5, early Bathonian (Zigzag zone, Macrescens subzone), (a: lateral view(Beginning of living chamber is shown), b: dorsal view).
Fig. 3 - *Morphoceras cf. egrediens* WETZEL, 1937 x 1, lower part of Mbr. 5, early Bathonian (Zigzag zone).
Figs. 4a,b - *Morphoceras dehmi* SEYED-EMAMI, 1985 x 1, lower part of Mbr. 5, early Bathonian (Zigzagzone), (10a:lateral view, 10b:dorsal view).
Figs. 5a,b - *Morphoceras multiforme* ARKELL, 1951 x1, lower part of Mbr. 5, early Bathonian (Zigzag zone), (a: lateral view, b: frontal view).
Figs. 6a,b- *Morphoceras cf. parvum* WETZEL, 1937 x 1, start of lower part of Mbr. 5, early Bathonian (Zigzag zone, Parvum subzone), (a: lateral view, b: dorsal view).
Fig. 7- *Ebrayiceras aff. sulcatum* (ZIETEN, 1830) x 1.5, lower part of Mbr. 5, early Bathonian (Zigzag zone).
Fig. 8- *Ebrayiceras cf. pseudoanceps* (EBRAY, 1864) x 1.5, lower part of Mbr. 5, early Bathonian (Zigzag zone, Macrescens subzone).
Figs. 9a,b- *Parkinsonia (Parkinsonia) pachypleura* BUCKMAN x 1, lower part of Mbr. 5, early Bathonian (Zigzag zone, Macrescens subzone), (a: lateral view, b: dorsal view).
Figs. 10a,b- *Ebrayiceras sulcatum* (ZIETEN, 1830), (m \circ) x 2, lower part of Mbr. 5, early Bathonian (Zigzag zone), (a: lateral view(Beginning of living chamber is shown), b: dorsal view).
Fig. 11- *Vermisphinctes subdivisus* BUCKMAN x 2, lower part of Mbr. 5, late Bajocian (Parkinsoni zone).
Figs. 12a,b- *Zigzagiceras (Zigzagiceras) cf. zigzag* (ORBIGNY. 1846) x 1.5, lower part of Mbr. 5, early Bathonian (Zigzag zone), (a: lateral view(start of living chamber is shown), b: dorsal view).

**کتابنگاری**

- آقاباتی، ع.، ۱۳۷۷- چینه‌شناسی ژوراسیک ایران، کتاب شماره ۶۵ ، انتشارات سازمان زمین‌شناسی و اکتشافات معدنی کشور، دو جلد، ۷۴۶ صفحه.
آقاباتی، ع.، ۱۳۸۳- زمین‌شناسی ایران، انتشارات سازمان زمین‌شناسی و اکتشافات معدنی کشور، ۵۸۶ صفحه.
بختیاری، س.، گیتاشناسی (واحد پژوهش و تأثیف)، ۱۳۸۴- اطلس راه‌های ایران. انتشارات مؤسسه جغرافیایی و کارتوگرافی گیتاشناسی، ۲۸۸ صفحه.
توتونیچی، ب.، ۱۳۸۰- مطالعه چینه‌شناسی و فسیل شناسی سازند دلیچای در جنوب ناحیه پلور (جنوب شرق پل دختر)، پایان نامه کارشناسی ارشد، دانشگاه آزاد اسلامی واحد تهران شمال، ۱۹۴ صفحه.
شیعی زاد، م.، ۱۳۸۰- مطالعه چینه‌شناسی و فسیل شناسی سازند دلیچای در البرز شرقی (غرب شهرود)، پایان نامه کارشناسی ارشد، دانشگاه آزاد اسلامی واحد تهران شمال، ۲۲۲ صفحه.
شمس، م.، ۱۳۸۶- مطالعه چینه‌شناسی و فسیل شناسی سازند دلیچای در منطقه پرور، شمال سمنان، البرز مرکزی با توجه خاص به فون آمونیتی، پایان نامه کارشناسی ارشد دانشگاه تهران، ۲۵۴ صفحه.
مکوندی، ر.، ۱۳۷۹- مطالعه چینه‌شناسی و فسیل شناسی سازند های دلیچای و لار در منطقه آبگرم (آوج همدان)، پایان نامه کارشناسی ارشد، دانشگاه آزاد اسلامی واحد تهران شمال، ۱۳۶ صفحه.

References

- Cariou, E. & Hantzpergue, P., 1997- Biostratigraphie Du Jurassique Quest – europeen et Mediterraneen, GFEJ, memoire 17 (Group Francia Etude Jurassique), Boletin du Centre de Reschres ELF Aquitaint, 17, 1- 440
Dercourt, J., Gaetani, M., Vrielynck, B., Barrier, E., Biju-Duval, B., Brunet, M. F., Cadet, J. P., Crasquin, S., and Sandulescu, M. (eds.) 2000
Atlas Peri-Tethys paleogeographical maps. 268 pp. CCGM/CGMW, Paris.
Majidifard, M. R., 2003- Biostratigraphy, Lithostratigraphy, ammonite taxonomy and microfacies analysis of the Middle and Upper Jurassic of northeastern Iran, Dissertation zur Erlangung des Naturwissenschaftlichen Doktorgrades Der Bayerischen Julius-Maximilians-Universitat Wurzburg.
Seyed-Emami, K., Schairer, G., Bolourchi, M. H., 1985- Ammoniten aus der unteren Dalichy-Formation (oberes Bajocium bis unteres Bathonium) der Umgebung von Abe-Garm (Avaj, Nw-Zentraliran), Zitteliana, 12, 57–85, München.
Seyed-Emami, K., Schairer, G., Alavi-naini, M., 1989- Ammoniten aus der untern Dalichai-Formation (Unterbathon) ostlich von Semnan (SE-Alborz, Iran). Munchner Geowiss. Abh., (A), 15, 79–91, 4 Abb., 1 Tab., 3 Taf., München.
Seyed-Emami, K., Schairer, G., Aghanabati, S. A., Fazl, M., 1991- Ammoniten aus dem Bathon der Gegend von Tabas – Nayband (Zentraliran), Munchner Geowiss. Abh., (A), 19, 65–100, 3 Abb., 2 Tab., 8 Taf.
Seyed-Emami, K., Schairer, G., Zeiss, A., 1995- Ammoniten aus der Dalichai-Formation (Mittlerer bis Oberer Jura) und der Lar-Formation (Oberer Jura) N Emamzadeh-Hashem (Zentralalborz, Nordiran), Mitt. Bayer. Staatslgl. Palaont. hist. Geol., 35, 39–52, München.
Seyed-Emami, K. , Fursich, F. T., Schairer, G., 2001- Lithostratigraphy, ammonite fauna and palaeoenvironments of Middle Jurassic in North and Central Iran, Newsr. stratigr., 38 (2/3), 163-184, 11 Fig., Berlin . Stuttgart.
Steiger, R., 1966- Die Geologie der West-Firuzkuh-Area(Zentralelburz/Iran). Mitt. der Technischen Hochschule u. der Univ. Zurich, N.F. 57, 1-145.

and similarity between clusters. Although there are some similarities between SOM's numerical maps constructed here and the conventional maps but SOM method is more powerful for identification and interpretation of different zones than conventional methods. Utilizing SOM method enables us not only to evaluate the degree of homogeneity in each zone, but also to separate regions zone that experience similar geological evolutionary despite of their geographical locations. For instance Lut and Gavkhuni zones show more homogeneity than Makran and Azerbayejan zones also Kopeh-Dagh and Zagros are located at different regions, they have similar features. The results obtained here represent separation between Makran from East Iranian Ranges and Western Azerbaijan from Alborz Ranges, too. It is important to recognize that the SOM's results are based purely on the geophysical, geological and seismic features presented previously. So correspondences and differences between the SOM's zones and a given zone based on conventional method must receive careful thought.

Keywords: Tectonic Zoning, Clustering, Self-Organizing map, Neural Network

For Persian Version see pages 83 to 88

* Corresponding author: A. Zamani; E-mail: Zamani_a_geol@yahoo.com

Lithostratigraphy and Biostratigraphy of the Dalichai Formation (Middle Jurassic) in Parvar Area, North of Semnan, Central Alborz

M. Shams^{1*} & K. Seyed-Emami²

¹ School of Geology, University College of Science, University of Tehran, Tehran, Iran

² School of Mining Engineering, University Collage of Engineering, University of Tehran, Tehran, Iran

Received: 2008 June 28 Accepted: 2008 December 24

Abstract

The Dalichai Formation and its ammonite fauna is studied for the first time in the Parvar area, Central Alborz. At Parvar the Dalichai Formation, with a thickness of about 70 m, consist of an alternation of grayish silty marls, marlstones, marly limestone and limestone and is subdivided into 5 members. A rich ammonite fauna (407 specimens) have been collected from the member 4 and 5, comprising the following families: Phylloceratidae, Lytoceratidae, Oppeliidae, Haploceratidae, Sphaeroceratidae, Parkinsoniidae, Morphoceratidae and Perisphinctidae. These indicate a Late Bajocian and Bathonian age. Member five consists of greenish to reddish, nodular and flaggy limestones and is a typical condensed horizon.

Keywords: Lithostratigraphy, Biostratigraphy, Dalichai Formation, Ammonite, Middle Jurassic, Parvar, Central Alborz.

For Persian Version see pages 89 to 94

*Corresponding author: M. Shams; E-mail: Me_shams59@yahoo.com

Evaluation of Organic Geochemical Characteristics of Kangan Formation in South Pars Field

A. Rajabi-Harsini^{1*} & M. Memariani²

¹ Islamic Azad University- North Tehran Branch, Tehran, Iran

² Research Institute of Petroleum Industry, Tehran, Iran

Received: 2008 August 12 Accepted: 2009 January 12

Abstract

In this study, in order to evaluate the geochemical characterization of Kangan Formation in well B in South Pars Gas Field, geochemical analysis (including preliminary and complementary analysis such as Rock-Eval Pyrolysis, extraction of organic matter (EOM), bitumen fractionation, Gas chromatography and Gas chromatography-Mass Spectrometry) were carried out on core samples. Geochemical results reveal that these samples have kerogen type III and II, indicating a marine organic matter with a little terrestrial input. The organic matter of these samples was derived from source rock(s), with clastic-carbonate lithology which deposited under anoxic to subanoxic conditions. In addition, the above samples exhibit poor to moderate genetic potential with kerogen maturity at the beginning of oil generation (late diagenesis to early catagenesis). Also, based on column chromatography, the above samples are mainly composed of paraffinic-naphthenic and paraffinic hydrocarbons. A negligible amount of hydrocarbons seems to have been generated locally from Kangan Formation.

Key words: Kangan Formation, Rock-Eval Pyrolysis, Gas chromatography, Gas Chromatography-Mass Spectrometry, Source Rock.